

Letzte Aktualisierung der Informationen: April 2025

Produktkonfiguration: P636

P636: Kleiner Korpus - Neutral White - Optik Wide Flood

**Produktcode**

P636: Kleiner Korpus - Neutral White - Optik Wide Flood

Beschreibung

Schwenkbarer Strahler mit Adapter für die Installation auf Stromschiene, zur Bestückung mit linearen LEDs PCB im Farbton Neutral White (4000K). Produkt komplett mit Reflektor aus superreinem eloxiertem Aluminium, um eine Wide Flood-Lichtverteilung zu erzielen. In den Korpus integriertes DALI-Vorschaltgerät. Das Leuchtengehäuse ist aus Aluminiumdruckguss hergestellt. Drehung um 360° um die Senkrechte und Schrägstellung um 90° zur Waagrechten Passive Wärmeableitung. Es ist möglich, verschiedene externe Zubehörteile anzubringen, darunter den Blendschutz und den asymmetrischen Schirm.

Installation

mit Stromschiene oder Einbaudose

Farben

Schwarz (04) | Weiß/Schwarz (47)

Gewicht (Kg)

0.9

Montage

Dreiphasenstromschienensystem|Deckenanbauleuchte

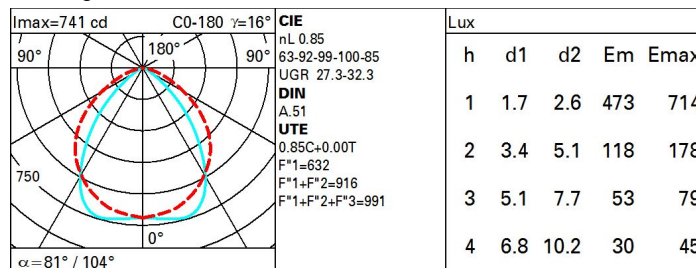
Verkabelung

Die Leuchte wird komplett mit elektronischen Komponenten ausgeliefert.

Gemäß der Normen EN60598-1 u. Sondernormen

**Technische Daten**

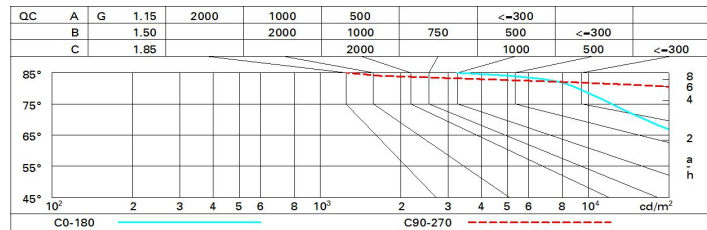
| | | | |
|-------------------------------------------------------------|------------|-----------------------------------|---------------------------------|
| Im System: | 1530 | CRI (minimum): | 80 |
| W System: | 13.8 | Farbtemperatur [K]: | 4000 |
| Im Lichtquelle: | 1800 | MacAdam Step: | 3 |
| W Lichtquelle: | 11 | Lebensdauer LED 1: | > 50,000h - L90 - B10 (Ta 25°C) |
| Lichtausbeute (lm/W, Systemwert): | 110.9 | Lampencode: | LED |
| Im im Notlichtbetrieb: | - | Anzahl Lampen in Leuchtengehäuse: | 1 |
| abgegebener Lichtstrom bei/ über einem Winkel von 90° [lm]: | 0 | ZVEI-Code: | LED |
| Leuchtenbetriebswirkungsgrad 85 (L.O.R.) [%]: | | Anzahl Leuchtengehäuse: | 1 |
| Abstrahlwinkel [°]: | 80° / 104° | Control: | DALI-2 |

Polardiagramm

Wirkungsgrad

| R | 77 | 75 | 73 | 71 | 55 | 53 | 33 | 00 | DRR |
|------|----|----|----|----|----|----|----|----|-----|
| K0.8 | 62 | 55 | 49 | 45 | 53 | 49 | 48 | 43 | 51 |
| 1.0 | 68 | 61 | 56 | 52 | 60 | 55 | 55 | 50 | 59 |
| 1.5 | 75 | 70 | 66 | 63 | 69 | 65 | 64 | 60 | 70 |
| 2.0 | 80 | 76 | 72 | 70 | 74 | 71 | 70 | 66 | 78 |
| 2.5 | 83 | 79 | 76 | 74 | 78 | 75 | 74 | 70 | 83 |
| 3.0 | 84 | 81 | 79 | 77 | 80 | 78 | 77 | 73 | 86 |
| 4.0 | 86 | 84 | 82 | 80 | 82 | 81 | 79 | 76 | 89 |
| 5.0 | 87 | 85 | 84 | 82 | 84 | 82 | 81 | 78 | 91 |

Söller-Diagramm



UGR-Diagramm

| Corrected UGR values (at 1800 lm bare lamp luminous flux) | | | | | | | | | | |
|-----------------------------------------------------------|-----|------------------|------|------|------|------|----------------|------|------|------|
| Reflect.: | | viewed crosswise | | | | | viewed endwise | | | |
| ceiling/cav | | 0.70 | 0.70 | 0.50 | 0.50 | 0.30 | 0.70 | 0.70 | 0.50 | 0.50 |
| walls | | 0.50 | 0.30 | 0.50 | 0.30 | 0.30 | 0.50 | 0.30 | 0.50 | 0.30 |
| work pl. | | 0.20 | 0.20 | 0.20 | 0.20 | 0.20 | 0.20 | 0.20 | 0.20 | 0.20 |
| Room dim | | x | | | | | y | | | |
| | | | | | | | | | | |
| 2H | 2H | 26.7 | 27.7 | 27.0 | 27.9 | 26.2 | 31.1 | 32.1 | 31.5 | 32.4 |
| | 3H | 26.7 | 27.5 | 27.0 | 27.8 | 26.1 | 31.2 | 32.1 | 31.5 | 32.4 |
| | 4H | 26.6 | 27.4 | 27.0 | 27.7 | 26.1 | 31.2 | 32.0 | 31.5 | 32.3 |
| | 6H | 26.6 | 27.3 | 26.9 | 27.6 | 26.0 | 31.1 | 31.8 | 31.5 | 32.2 |
| | 8H | 26.5 | 27.3 | 26.9 | 27.6 | 27.9 | 31.1 | 31.8 | 31.4 | 32.1 |
| | 12H | 26.5 | 27.2 | 26.9 | 27.5 | 27.9 | 31.0 | 31.7 | 31.4 | 32.0 |
| 4H | 2H | 27.4 | 28.2 | 27.7 | 28.5 | 28.8 | 32.2 | 33.0 | 32.5 | 33.3 |
| | 3H | 27.4 | 28.1 | 27.8 | 28.4 | 28.8 | 32.4 | 33.1 | 32.8 | 33.4 |
| | 4H | 27.3 | 27.9 | 27.7 | 28.3 | 28.7 | 32.4 | 33.0 | 32.8 | 33.4 |
| | 6H | 27.3 | 27.8 | 27.7 | 28.2 | 28.6 | 32.4 | 32.9 | 32.8 | 33.3 |
| | 8H | 27.3 | 27.7 | 27.7 | 28.1 | 28.6 | 32.3 | 32.8 | 32.8 | 33.2 |
| | 12H | 27.2 | 27.6 | 27.7 | 28.1 | 28.5 | 32.3 | 32.7 | 32.7 | 33.1 |
| 8H | 4H | 27.5 | 28.0 | 27.9 | 28.4 | 28.8 | 32.5 | 32.9 | 32.9 | 33.4 |
| | 6H | 27.5 | 27.8 | 27.9 | 28.3 | 28.8 | 32.5 | 32.9 | 32.9 | 33.3 |
| | 8H | 27.4 | 27.8 | 27.9 | 28.2 | 28.7 | 32.4 | 32.8 | 32.9 | 33.2 |
| | 12H | 27.4 | 27.7 | 27.9 | 28.2 | 28.7 | 32.4 | 32.7 | 32.9 | 33.2 |
| 12H | 4H | 27.5 | 27.9 | 27.9 | 28.3 | 28.8 | 32.4 | 32.8 | 32.9 | 33.3 |
| | 6H | 27.5 | 27.8 | 27.9 | 28.3 | 28.8 | 32.4 | 32.8 | 32.9 | 33.2 |
| | 8H | 27.4 | 27.7 | 27.9 | 28.2 | 28.7 | 32.4 | 32.7 | 32.9 | 33.2 |
| Variations with the observer position at spacing: | | | | | | | | | | |
| S = | | 1.0H | | | | | 0.4 / -0.4 | | | |
| | | 1.5H | | | | | 0.7 / -1.3 | | | |
| | | 2.0H | | | | | 1.7 / -1.9 | | | |